

(184)

永久磁石回転方式攪拌装置の開発

(鋳型内電磁攪拌法の開発 第1報)

住友金属工業㈱中央技術研究所 小林純夫 吉原正裕

I 緒言 連続鋳造ブルームの表面及び内部品質の改善を目的として回転磁場を用いる鋳型内攪拌装置の検討を行ない、従来の電磁石方式とは異なる永久磁石回転方式攪拌装置を開発したので報告する。

II 検討内容・結果 対象としたのは公称 180^{ϕ} 鋼ブルームであり、銅鋳型の寸法を Table. 1 に示す。鋳型厚を変化させずに鋳型内攪拌を適用することを前提とした。

1. 鋳型による磁場の減衰：鋳型内攪拌においては銅鋳型による磁場の減衰が顕著である。角速度 Ω_0 の回転磁場 B_0 中に導電率 σm 、内半径 a 、外半径 b の円筒鋳型がある時、鋳型内部の磁場 B は、(1) で与えられる。 $B = 2B_0 / [(ra)^2 \cdot (K_2(ra)I_0(rb) - I_2(ra)K_0(rb))] \dots \dots (1)$ ここで、 $r^2 = j\Omega_0\sigma m\mu_0$ 、 μ_0 ：真空中透磁率、 I_i 、 K_i ：変形 Bessel 関数である。 $a = 0.105 [m]$ 、 $b = 0.117 [m]$ の場合の計算結果及び Table. 1 の鋳型に対する実測結果を Fig. 1 に示す。なお周波数 f は、 $f = \Omega_0 / 2\pi$ 、である。幾何学条件は異なるが、両者はほぼ近い値を示す。

2. 電磁力：溶鋼電気伝導度を σ とすると、中心から r の位置の電磁力 F は (2) で与えられる。 $F = \frac{1}{2} \sigma r \Omega_0 B^2 \dots \dots (2)$ 。(1)(2)より計算した電磁力を Fig. 1 に示す。操業中に鋳型温度が上昇することを考慮しても使用周波数を 4 [Hz] 以上にする利点は少ない。

3. 溶鋼流速：KW モデルを用いた円型鋳型に対する流速計算結果及びウッドメタルを用いた矩型鋳型に対する流速測定結果より、矩型鋳型中の最大流速を表わす式 (3) を導いた。

$V_{max} = d \Omega_0 [1 - \exp(-3.6\sqrt{N})] \cdot f(N) \dots \dots \dots (3)$ 。ここで、 d ：鋳型内寸、 N ：相互作用変数 ($= \sigma B^2 / 2\rho \Omega_0$)、 ρ ：溶鋼密度、 $f(N) \cong 0.3$ ($N < 0.1$) である。(1)(3)より弱いリミングアクション程度の流速 $0.4 [m/s]$ を得るには、 $f = 4 [\text{Hz}]$ のとき、 $B_0 = 0.1 [T]$ 程度の磁場が必要である。

III 永久磁石回転方式攪拌装置 上記検討結果に基き装置構成を種々検討し、鋳型内攪拌装置の特性－強磁場、低周波数－を実現し易い構成として、永久磁石回転方式攪拌装置を考案・開発した。構成を模式的に Fig. 2 に示す。円筒型磁石を機械的に回転する方式である。本装置を当社小倉製鉄所ブルーム連鉄機に適用した。

Table. 1. Specifications

of the stirrers

(1) Mould(Copper)	
Cavity	$\sim 186 [mm^3]$
Thickness	12 [mm]
(2) Magnet	
B_0	0.12 [T]
O.D.	524 [mm]
(3) Rotation Speed	
	50~260 [r/min]
(4) Power Dissipation	
	max 18 [KW]

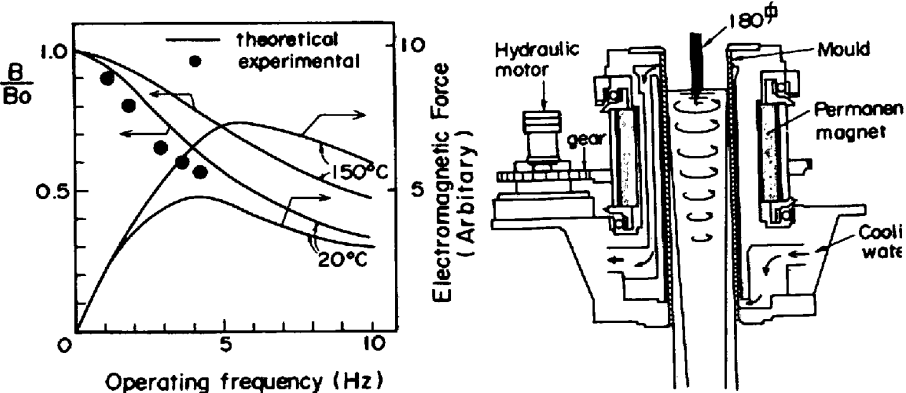


Fig. 1 Magnetic field and electromagnetic force vs. operating frequency

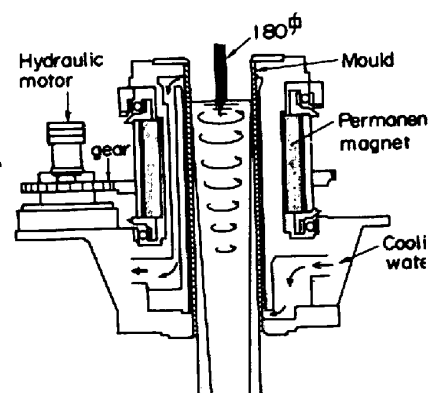


Fig. 2 Schematic diagram of RM